

Pose Free 3D Gaussian Splatting

2024 summer seminar



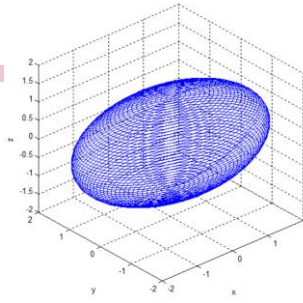
Sogang University
Vision & Display Systems Lab, Dept. of Electronic Engineering



Presented By
염수웅

Outline

- Background
 - 3D Gaussian Splatting
 - Point Cloud Reconstruction using monocular depth
- Paper1
 - COLMAP-Free 3D Gaussian Splatting – [CVPR 2024]
- Paper2
 - A Construct-Optimize Approach to Sparse View Synthesis without Camera Pose - [SIGGRAPH 2024]



Background

- 3D Gaussian Splatting-[SIGGRAPH 23]

- 입력 이미지, 카메라 파라미터, 3D point cloud 를 입력으로 받아 모델 최적화

- SfM 기반의 방법론으로 추정된 point cloud 를 mean 으로 하는 3D Gaussian 모델링

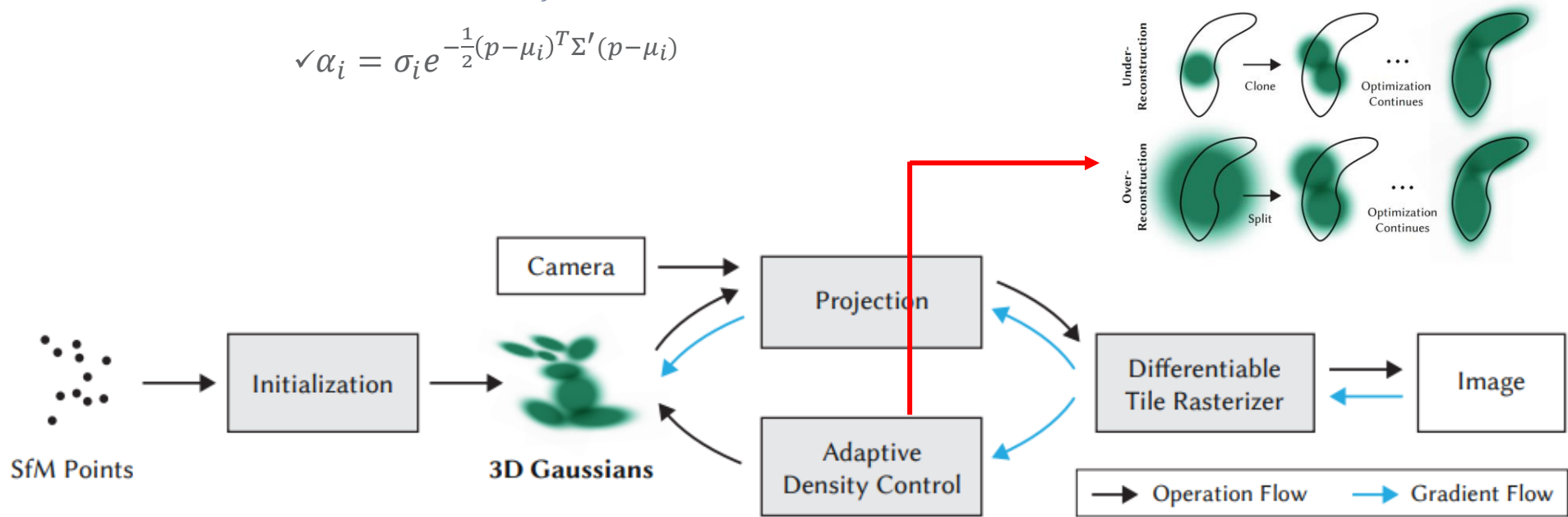
$$G(p) = e^{-\frac{1}{2}(p-\mu)^T \Sigma (p-\mu)}$$

$$\Sigma = RSS^T R^T$$

$$\Sigma' = JW\Sigma W^T J^T$$

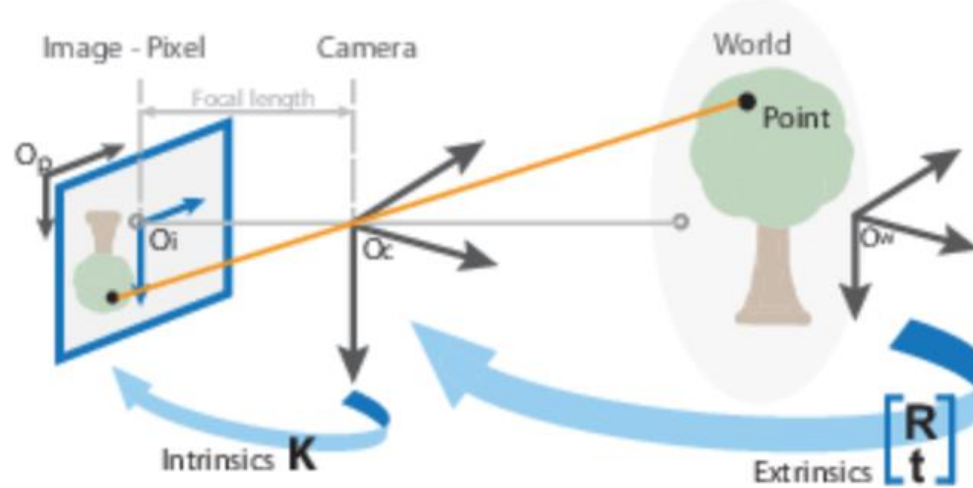
$$C(p) = \sum_{i \in N} c_i \alpha_i \prod_{j=1}^{i-1} (1 - \alpha_j)$$

$$\checkmark \alpha_i = \sigma_i e^{-\frac{1}{2}(p-\mu_i)^T \Sigma' (p-\mu_i)}$$



Background

- Point Cloud Reconstruction using monocular depth
 - Monocular depth 를 이용한 point cloud 계산
 - 이미지 좌표에 intrinsic 의 inverse 를 곱해서 카메라 좌표계로 변환
 - Homogeneous coordinate 로 표현된 카메라 좌표계에 depth map 을 곱해서 3d point 획득
 - 3d point 는 카메라 좌표계 기준이기 때문에 C2W transformation 을 통해 point cloud 획득
 - 마찬가지 방법으로 $\text{ray} = \mathbf{o} + t\mathbf{d}$ 또한 계산 가능
 - \mathbf{o} : camera translation (world 좌표계)
 - \mathbf{d} : direction vector (해당 픽셀에 intrinsic inverse 곱하고 C2W 변환 수행한 값)



Paper1 - COLMAP-Free 3D Gaussian Splatting

- Introduction

- 사전에 정확히 계산된 카메라 포즈를 필요로하는 3D 복원 및 렌더링 분야

- NeRF 나 Gaussian Splatting 모델과 같이 3차원 장면을 렌더링 하는 분야는 사전에 정확하게 계산된 카메라 포즈가 있어야만 동작이 가능

- 카메라 포즈 없이도 렌더링이 수행될 수 있는 연구의 등장

- NeRF 기반 방법론 연구가 활발하게 이루어지던 작년까지 카메라 포즈를 추정하는 동시에 3D 렌더링을 수행하는 방법이 꾸준하게 발표되어짐

- ↳ BARF : GT 카메라와 유사한 초기 camera pose 가 필요

- ↳ NeRFmm : forward-facing scene 에 한정적으로 수행 가능

- ↳ Nope-NeRF : 학습시간이 매우 길고(약 30시간) rotation 이 크게 변하면 어려움

- 하지만 implicit 표현에 의존하는 NeRF의 특성상 3D 구조와 카메라 포즈를 동시에 최적화 하는 것이 어려움

- ↳ 명시적으로 표현되는 3차원 기하학적 구조가 수학적으로 정의되어야 카메라 포즈를 최적화하기에 수월함

- ↳ NeRF는 MLP 학습에 의존하며 카메라 포즈를 직접적으로 추정하는 것이 아니라 ray tracing 을 업데이트하는 간접적인 방법을 통해 추정

Paper1 - COLMAP-Free 3D Gaussian Splatting

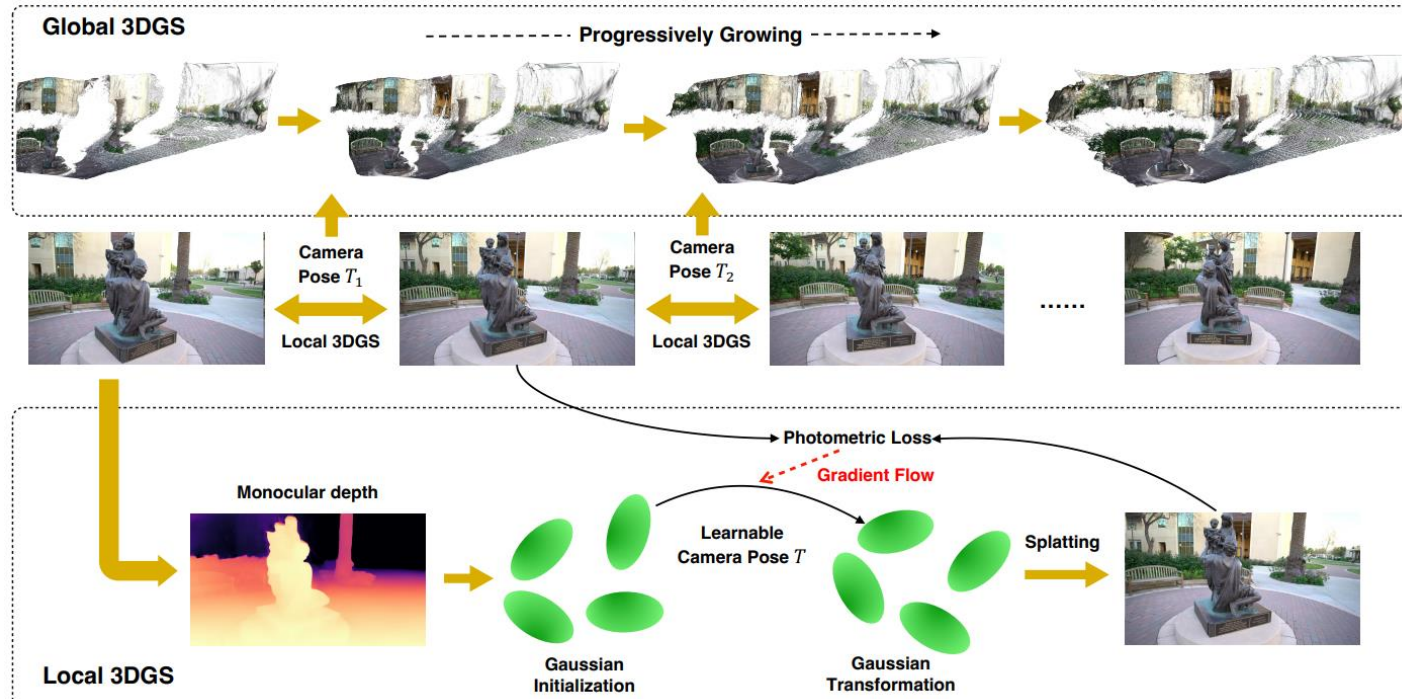
- Main Method

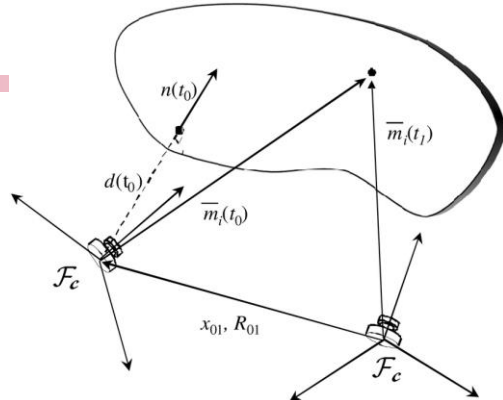
- Overview

- Explicit 한 표현을 사용하는 3D Gaussian Splatting 방법을 활용하여 카메라 포즈 추정

- 명시적인 기하학적 표현과 연속적인 비디오 프레임을 활용

- ✓ 입력 프레임을 연속적으로 처리하며 한번에 하나의 프레임을 가지고 옴으로써 3D Gaussian 을 점진적으로 성장시켜나감





Paper1 - COLMAP-Free 3D Gaussian Splatting

- Main Method

- Local 3DGS for Relative Pose Estimation

- 한 쌍의 영상을 입력 받아 상대적인 카메라 포즈를 추정하는 단계

- ↳ Timestep t 의 프레임 I_t 와 timestep $t + 1$ 의 프레임 I_{t+1} 간의 카메라 변환 행렬 추정

- 3D Gaussian 의 강체 변환과 카메라 포즈 사이의 관계에 착안하여 Local 3DGS 방법 설계

- ↳ 3D Gaussian 의 mean(μ) 값인 point cloud 의 위치 벡터는 pixel plane 의 위치(μ_{2D})로 다음과 같이 projection 되어짐

$$\sqrt{\mu_{2D}} = \frac{K(W\mu)}{(W\mu)_z} \quad \xrightarrow{\text{Monocular depth 를 이용한 3D reconstruction 의 역연산}}$$

- W : world to camera transformation (Camera Pose)

- ↳ 해당 변환은 μ 가 W 에 의해 강체 변환 후 projection 되는 것과 동일하게 해석 가능

$$\sqrt{\mu'} = W\mu$$

$$\sqrt{\mu_{2D}} = \frac{K\mu'}{(K\mu')_z}$$

- ↳ 카메라 포즈와 3D Gaussian 강체 변환의 관계를 활용하여 Local 3DGS 설계

Paper1 - COLMAP-Free 3D Gaussian Splatting

- Main Method

- Local 3DGs for Relative Pose Estimation

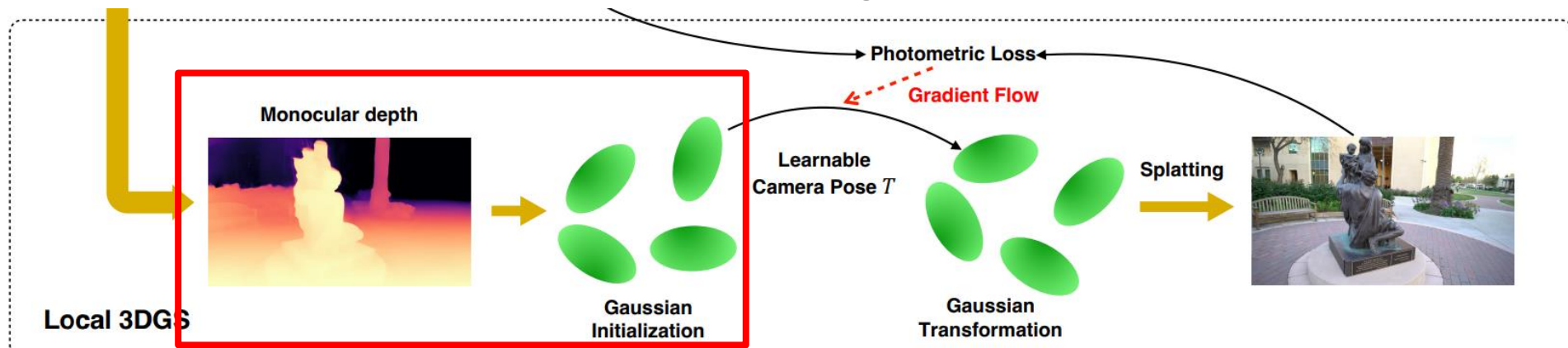
- Local 3DGs process

↳ 3D Gaussian initialization from a single view

- ✓ 사전 학습된 단안 깊이 추정 모델 이용하여 기준 이미지 I_t 의 깊이맵 추정
- ✓ Intrinsic parameter 와 깊이맵 이용하여 point cloud reconstruction 수행
- ✓ 해당 point cloud 를 gaussian 의 초기값으로 하는 3D Gaussian G_t 학습

$$\bullet G_t^* = \arg \min_{c_t, r_t, s_t, \alpha_t} \mathcal{L}_{rgb}(\mathcal{R}(G_t), I_t)$$

• \mathcal{R} : 3DGS rendering process, \mathcal{L}_{rgb} : 3DGS training loss function



Paper1 - COLMAP-Free 3D Gaussian Splatting

- Main Method

- Local 3DGs for Relative Pose Estimation

- Local 3DGs process

 Pose Estimation by 3D Gaussian Transformation

✓ 학습된 3D Gaussian G_t^* 을 다음 프레임 I_{t+1} 의 image space 로 강체 변환 수행

- 강체 변환은 learnable SE-3 affine transformation T_t 를 통해 수행

$$\bullet G_{t+1} = T_t \odot G_t$$

✓ 변환행렬은 렌더링된 이미지의 photometric loss 를 최적화함으로써 학습되어짐

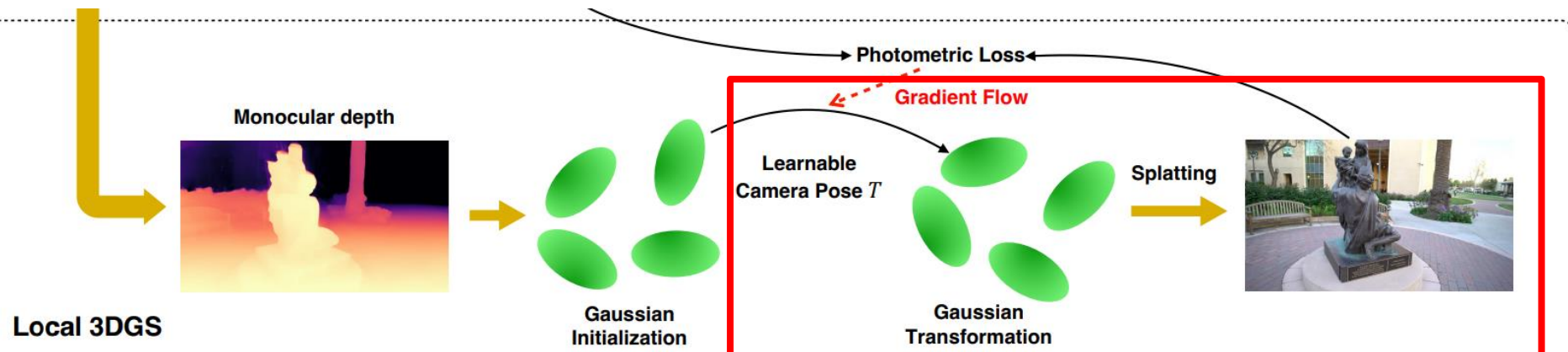
$$\bullet T_t^* = \arg \min_{T_t} \mathcal{L}_{rgb}(\mathcal{R}(T_t \odot G_t), I_{t+1})$$

3x3 rotation matrix

&

3x1 translation vector

두 구성요소로 이루어진 3차원 공간상의
강체 변환 행렬



Paper1 - COLMAP-Free 3D Gaussian Splatting

- Main Method

- Global 3DGS with Progressively Growing

- Local 3DGS 만 이용하여 추정한 카메라 포즈로 3DGS 최적화할 경우 낮은 성능 보임

↳ Local 3DGS 를 이용한 전체 카메라 포즈 추정 방법

✓ 연속적인 프레임들에 대해 한 쌍 단위로 상대 포즈들 추정 후 전체 align 조정

- I_1 을 기준 카메라 포즈(identity matrix) 로 하여 전체 카메라 포즈 추정 가능

$$\bullet W_1 = \text{Identity}, W_2 = T_1, W_3 = T_1 \times T_2, \dots, W_{n+1} = T_1 \times T_2 \times \dots \times T_n$$

↳ 각 쌍에서 상대적 카메라 포즈가 독립적으로 추정

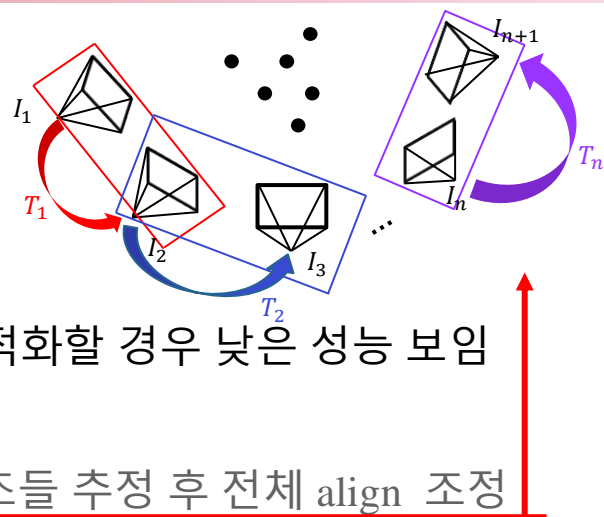
✓ Monocular depth 에 의한 reconstruction 이 문제

- 전체 장면에 대한 consistency 가 없기 때문

✓ 인접한 각 쌍의 정보만이 활용되어짐

- 전체 카메라에 대한 정보를 참조하지 않음

✓ 렌더링 성능 및 포즈 추정 성능을 통해 확인 가능



scenes	w.o. growing			
	PSNR	SSIM	RPE _t	RPE _r
Church	22.01	0.72	0.044	0.122
Barn	25.20	0.85	0.152	0.232
Museum	20.95	0.70	0.079	0.212
Family	22.30	0.77	0.065	0.028
Horse	23.47	0.81	0.147	0.066
Ballroom	23.36	0.79	0.056	0.073
Francis	22.20	0.69	0.147	0.161
Ignatius	21.05	0.67	0.24	0.058
mean	22.57	0.75	0.116	0.119

Paper1 - COLMAP-Free 3D Gaussian Splatting

- Main Method

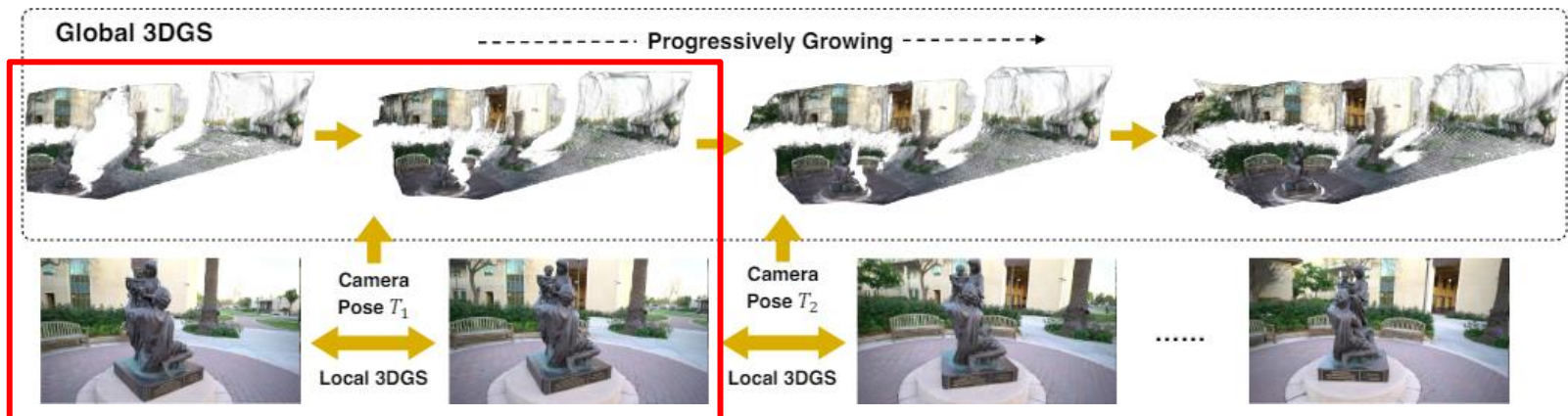
- Global 3DGS with Progressively Growing

- Local 3DGS 학습함과 동시에 전체 카메라 구조를 활용하는 progressively growing 적용
- Progresive Growing process

↳ I_t 와 I_{t+1} 에 대해 Local 3DGS 수행하여 상대적 포즈와 initial 3D Gaussian 획득

↳ 추정된 포즈와 initial 3D Gaussian 을 이용하여 3D Gaussian 모델 학습

✓ I_t 를 기준 카메라로 하며 I_t 와 I_{t+1} 을 super vision 하여 3D Gaussian 업데이트



Paper1 - COLMAP-Free 3D Gaussian Splatting

- Main Method

- Global 3DGS with Progressively Growing

- Progresive Growing process

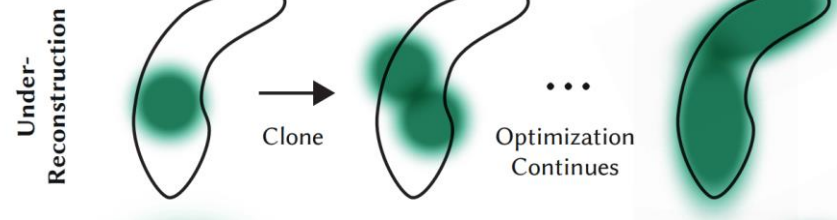
전체 프레임에 대해 해당 과정을 점진적으로 수행

✓ 새로운 프레임을 입력받는 순간마다 densification 수행

- 이전 단계까지 학습된 3D Gaussian 은 새로운 프레임의 모든 구간을 커버할 수 없음

- 3D 장면에서 빈 공간을 채우는 under reconstruction 수행

- 초기 point cloud 에서 시작해 전체 장면을 커버하는 완성된 point cloud 로 점진적 성장



scenes	w.o. growing				Ours			
	PSNR	SSIM	RPE _t	RPE _r	PSNR	SSIM	RPE _t	RPE _r
Church	22.01	0.72	0.044	0.122	30.23	0.93	0.008	0.018
Barn	25.20	0.85	0.152	0.232	31.23	0.90	0.034	0.034
Museum	20.95	0.70	0.079	0.212	29.91	0.91	0.052	0.215
Family	22.30	0.77	0.065	0.028	31.27	0.94	0.022	0.024
Horse	23.47	0.81	0.147	0.066	33.94	0.96	0.112	0.057
Ballroom	23.36	0.79	0.056	0.073	32.47	0.96	0.037	0.024
Francis	22.20	0.69	0.147	0.161	32.72	0.91	0.029	0.154
Ignatius	21.05	0.67	0.24	0.058	28.43	0.90	0.033	0.032
mean	22.57	0.75	0.116	0.119	31.28	0.93	0.041	0.069

Paper1 - COLMAP-Free 3D Gaussian Splatting

- Result

- 정량 결과

scenes	Ours			Nope-NeRF			BARF			NeRFmm			SC-NeRF		
	RPE _t ↓	RPE _r ↓	ATE↓	RPE _t	RPE _r	ATE									
Church	0.008	0.018	0.002	0.034	0.008	0.008	0.114	0.038	0.052	0.626	0.127	0.065	0.836	0.187	0.108
Barn	0.034	0.034	0.003	0.046	0.032	0.004	0.314	0.265	0.050	1.629	0.494	0.159	1.317	0.429	0.157
Museum	0.052	0.215	0.005	0.207	0.202	0.020	3.442	1.128	0.263	4.134	1.051	0.346	8.339	1.491	0.316
Family	0.022	0.024	0.002	0.047	0.015	0.001	1.371	0.591	0.115	2.743	0.537	0.120	1.171	0.499	0.142
Horse	0.112	0.057	0.003	0.179	0.017	0.003	1.333	0.394	0.014	1.349	0.434	0.018	1.366	0.438	0.019
Ballroom	0.037	0.024	0.003	0.041	0.018	0.002	0.531	0.228	0.018	0.449	0.177	0.031	0.328	0.146	0.012
Francis	0.029	0.154	0.006	0.057	0.009	0.005	1.321	0.558	0.082	1.647	0.618	0.207	1.233	0.483	0.192
Ignatius	0.033	0.032	0.005	0.026	0.005	0.002	0.736	0.324	0.029	1.302	0.379	0.041	0.533	0.240	0.085
mean	0.041	0.069	0.004	0.080	0.038	0.006	1.046	0.441	0.078	1.735	0.477	0.123	1.890	0.489	0.129

- RPE_t

위치 변화에 초점을 맞춘 evaluation metric 으로 두 포즈 사이의 거리 변화의 오차

$$\checkmark RPE_t = \|(T - \hat{T}) \cdot p\|$$

- RPE_r

회전 오차에 초점을 맞춘 evaluation metric 으로 두 포즈 사이 회전 각도 변화의 오차

$$\checkmark RPE_r = \text{angle}(R \cdot \hat{R}^{-1})$$

- ATE

실제 포즈와 추정 포즈 사이 유클리드 거리와 회전 오차를 계산한 evaluation metric

$$\checkmark ATE = \sqrt{\frac{1}{N} \sum_i^N \|p_i - \hat{p}_i\|^2}$$

Paper1 - COLMAP-Free 3D Gaussian Splatting

- Result

- 정량 결과

scenes	Ours			Nope-NeRF			BARF			NeRFmm			SC-NeRF		
	PSNR ↑	SSIM ↑	LPIPS ↓	PSNR	SSIM	LPIPS	PSNR	SSIM	LPIPS	PSNR	SSIM	LPIPS	PSNR	SSIM	LPIPS
Church	30.23	0.93	0.11	25.17	0.73	0.39	23.17	0.62	0.52	21.64	0.58	0.54	21.96	0.60	0.53
Barn	31.23	0.90	0.10	26.35	0.69	0.44	25.28	0.64	0.48	23.21	0.61	0.53	23.26	0.62	0.51
Museum	29.91	0.91	0.11	26.77	0.76	0.35	23.58	0.61	0.55	22.37	0.61	0.53	24.94	0.69	0.45
Family	31.27	0.94	0.07	26.01	0.74	0.41	23.04	0.61	0.56	23.04	0.58	0.56	22.60	0.63	0.51
Horse	33.94	0.96	0.05	27.64	0.84	0.26	24.09	0.72	0.41	23.12	0.70	0.43	25.23	0.76	0.37
Ballroom	32.47	0.96	0.07	25.33	0.72	0.38	20.66	0.50	0.60	20.03	0.48	0.57	22.64	0.61	0.48
Francis	32.72	0.91	0.14	29.48	0.80	0.38	25.85	0.69	0.57	25.40	0.69	0.52	26.46	0.73	0.49
Ignatius	28.43	0.90	0.09	23.96	0.61	0.47	21.78	0.47	0.60	21.16	0.45	0.60	23.00	0.55	0.53
mean	31.28	0.93	0.09	26.34	0.74	0.39	23.42	0.61	0.54	22.50	0.59	0.54	23.76	0.65	0.48

- PSNR

GT 영상과 픽셀 값의 차이를 정량적으로 나타내는 수치

- SSIM

Gaussian kernel 을 이용하여 두 이미지의 구조적 유사성을 측정하는 수치

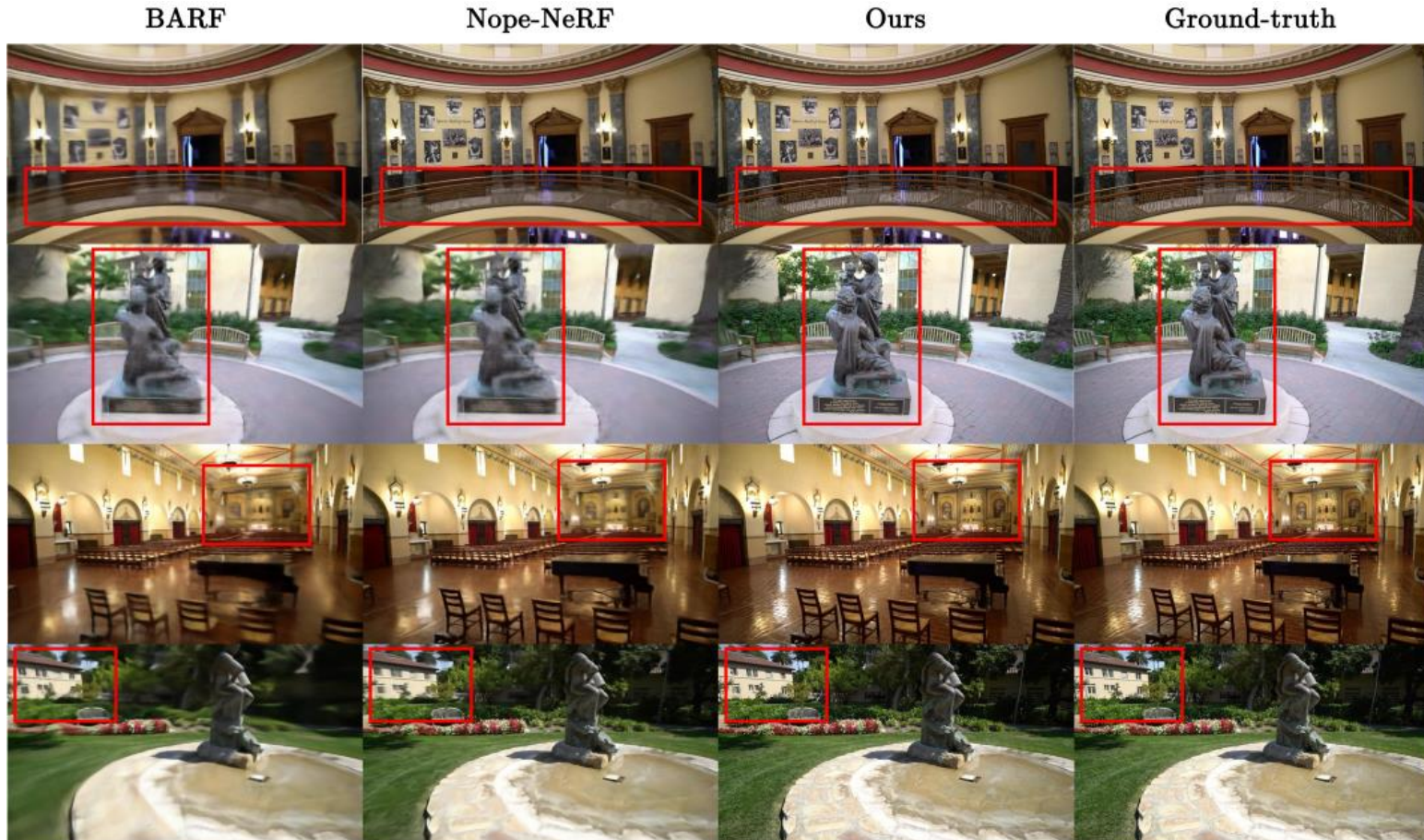
- LPIPS

Pretrained CNN 모델을 활용하여 추출한 영상의 feature 들 간의 유사도를 나타내는 수치

Paper1 - COLMAP-Free 3D Gaussian Splatting

- Result

- 정성 결과



Paper1 - COLMAP-Free 3D Gaussian Splatting

- Result

- 정성 결과



Paper2- A Construct-Optimize Approach to Sparse View Synthesis without Camera Pose

- Introduction

- Sparse view 환경에선 카메라 포즈 추정이 어려움

- 일반적으로 static scene에 대한 카메라 포즈는 SfM 기반 방법론으로 추정되어짐
↳ Feature matching, triangulation을 활용하여 reprojection error 최소화하는 최적화 방법
- Reprojection error를 최적화하기 위한 3차원 정보가 충분히 만들어 지지 않기 때문

- Sparse view 환경에선 novel view synthesis 또한 어려움

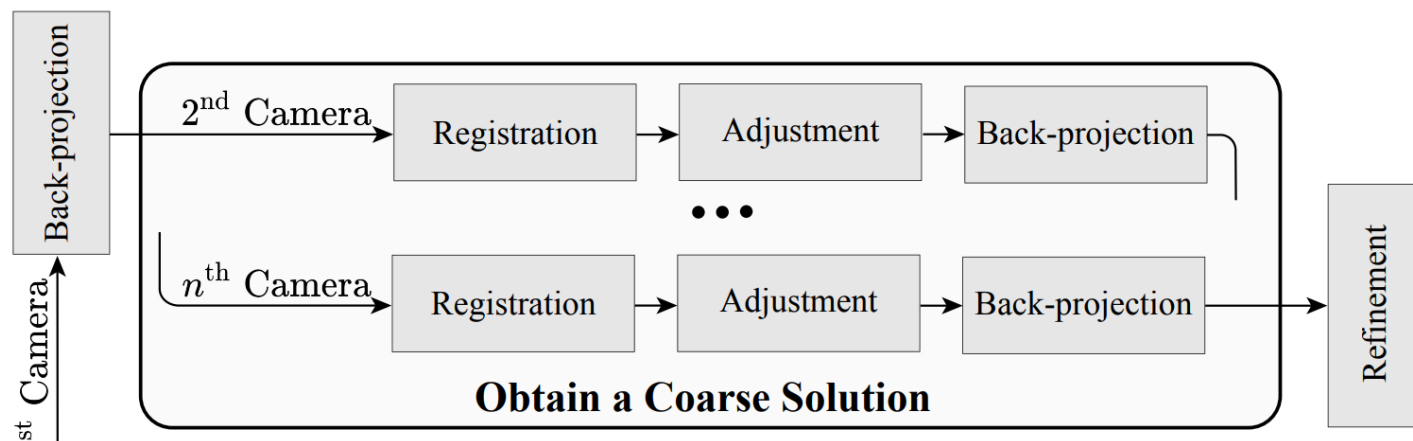
- NeRF와 3D Gaussian Splatting과 같이 높은 성능을 달성하는 방법론들은 사전에 정확하게 계산되어진 카메라 포즈를 필요로 함
↳ 3D Gaussian Splatting 방법은 카메라 포즈뿐만 아니라 초기 point cloud도 매우 중요
- Sparse view 환경은 SfM 기반 방법론으로 카메라 포즈 추정이 어렵기 때문에 novel view synthesis 또한 어려움
- FoV가 크게 겹쳐서 카메라 포즈 추정이 되었다고 하더라도 3차원 정보 학습을 위한 픽셀 정보가 적기 때문에 novel view synthesis는 여전히 어려움
- Sparse view 환경에서 novel view synthesis가 잘 되어질 수 있도록 논문의 최적화 방법 및 카메라 포즈와 depth를 같이 조정하는 방법론 제시

Paper2- A Construct-Optimize Approach to Sparse View Synthesis without Camera Pose

- Main Method

- Algorithm Overview

- 첫 번째로 입력 받은 영상 I_1 에 대한 카메라 포즈(P_1)를 identity로 등록
- I_1 과 대응되는 깊이맵 D_1 을 이용하여 back-projection (point cloud reconstruction) 수행
- Back-projection 되어진 point cloud를 이용하여 3D Gaussian 학습
- 두 번째로 I_2 와 대응되는 깊이맵 D_2 를 입력 받음
- I_2 에 대한 카메라 포즈(P_2)를 I_1 과 동일한 값으로 복사
- I_1 으로 학습된 3D Gaussian을 P_2 로 렌더링하며 포즈 등록 수행
- 해당 과정을 계속 반복하면서 전체 카메라 포즈를 추정



Paper2- A Construct-Optimize Approach to Sparse View Synthesis without Camera Pose

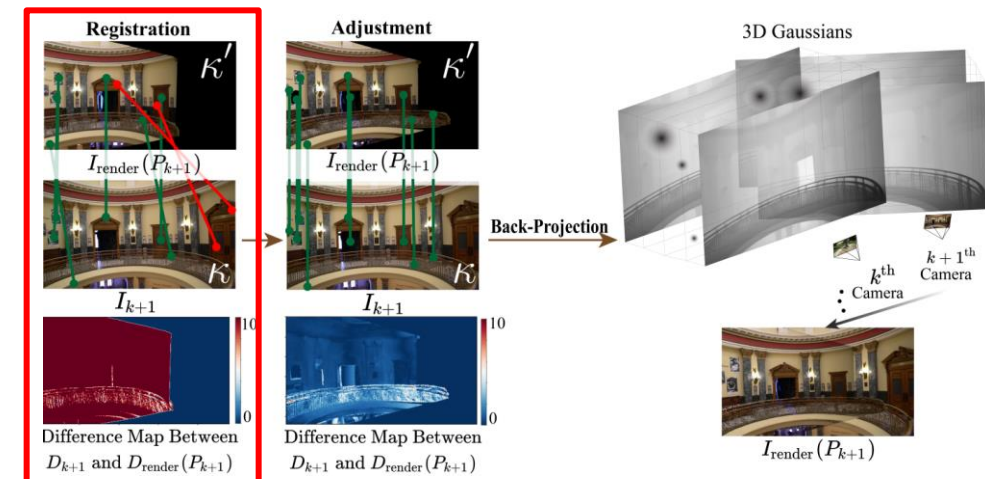
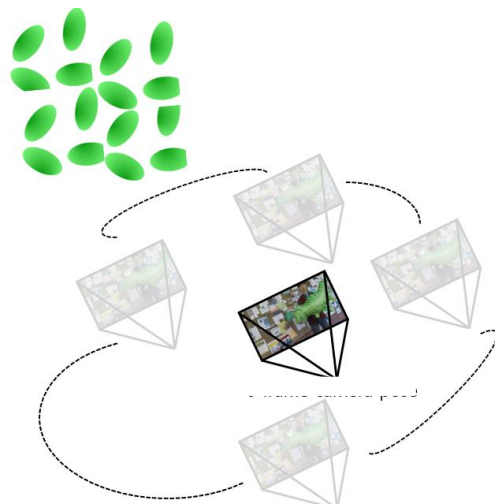
- Main Method

- Optimization Framework

- Registration stage

- k 번째 영상까지 카메라 포즈 및 3D Gaussian에 대한 등록이 되었다고 가정
 - k 번째 영상 카메라 포즈를 복사하여 $k+1$ 번째 영상 카메라 포즈 초기값으로 등록
 - 3D Gaussian을 $k+1$ 번째 카메라로 렌더링
 - ✓ 렌더링 된 영상과 GT 영상 사이의 photometric loss를 통해 카메라 포즈 최적화

$$\bullet \mathcal{L}_{rgb} = \|I - I_{render}(P)\|_1$$



Paper2- A Construct-Optimize Approach to Sparse View Synthesis without Camera Pose

- Main Method

- Optimization Framework

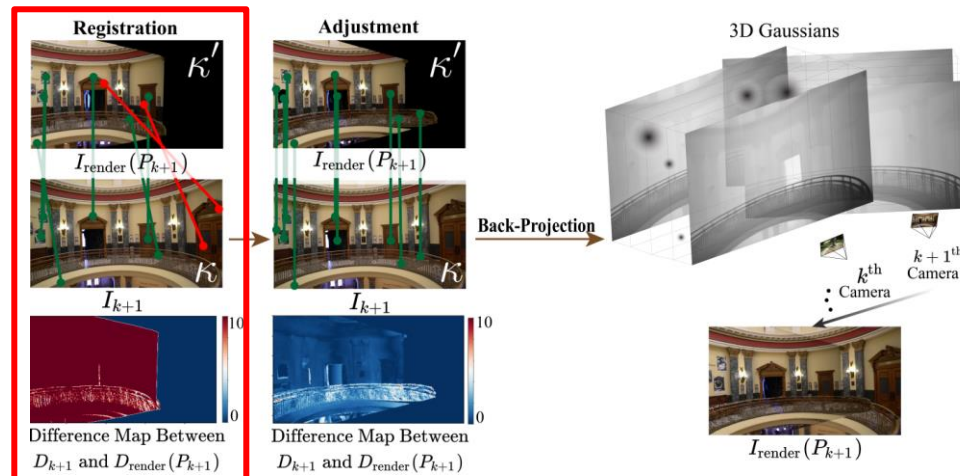
- Registration stage

↳ 렌더링된 영상과 GT 영상 사이의 correspondence 획득

✓ Correspondence 픽셀 위치가 서로 동일하도록 매칭하여 카메라 포즈를 최적화

$$\bullet \mathcal{L}_{corr} = \sum_{i=1}^M \|q(\kappa'^{(i)}) - \kappa^{(i)}\|_1$$

↳ 렌더링된 영상과 GT 영상 사이의 photometric loss 와 correspondence loss 를 통해
복사된 값을 초기값으로하는 포즈가 최적화 되도록 유도



Paper2- A Construct-Optimize Approach to Sparse View Synthesis without Camera Pose

- Main Method

- Optimization Framework

- Differentiable Surface Rendering

↳ GT 영상의 특징점과 대응되는 $k + 1$ 카메라에 대한 렌더링 영상의 특징점 획득

↳ 획득된 특징점과 대응되는 렌더링 영상의 픽셀 정보 저장

↳ 저장된 픽셀 정보와 대응되는 3D Gaussian 에 대한 surface reconstruction 수행

✓ 해당 픽셀에 대응되는 surface 를 3D Gaussian 정보들을 이용하여 reconstruction

- $\Psi(s) = \sum_{i, \hat{\mu}_i(s) \neq \emptyset} \hat{\mu}_i(s) \alpha_i(s) \prod_{j=1, \hat{\mu}_j(s)}^{i-1} (1 - \alpha_j(s))$

- $\hat{\mu}_i(s)$ 는 픽셀 s 에 해당하는 ray 와 3D surface 가 교차되는 점

- $\hat{\mu}_i(s) = o + ld(s)$

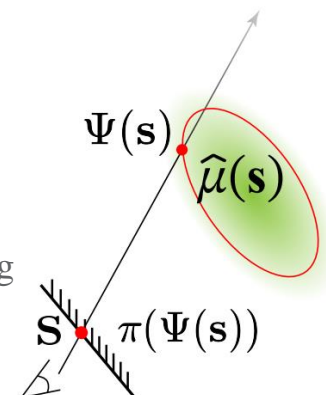
- $\hat{\mu}_i(x) = \mu_i + R_i f(s_i)$ → Ellipsoid shell coordinate 에서 정의

- μ_i : Gaussian center, R_i : Gaussian rotation, s_i : Gaussian scaling

✓ Reconstruction 된 surface 를 렌더링하여 $q(\kappa'^{(i)})$ 획득

- $q(s) = \sum_{i, \hat{\mu}_i(s) \neq \emptyset} \pi(\hat{\mu}_i(s)) \alpha_i(s) \prod_{j=1, \hat{\mu}_j(s)}^{i-1} (1 - \alpha_j(s))$

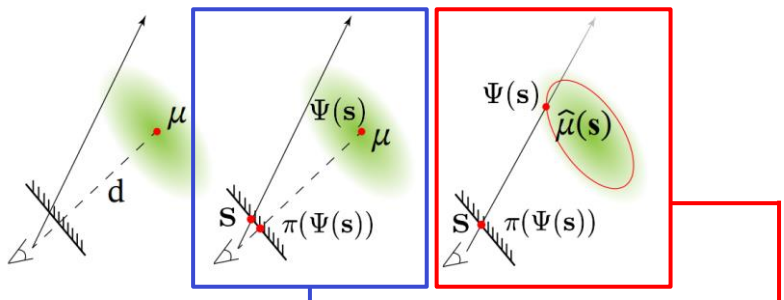
↳ 카메라 포즈에 해당하는 ray 매개변수와 3D Gaussian 매개변수가 함께 최적화 됨



Paper2- A Construct-Optimize Approach to Sparse View Synthesis without Camera Pose

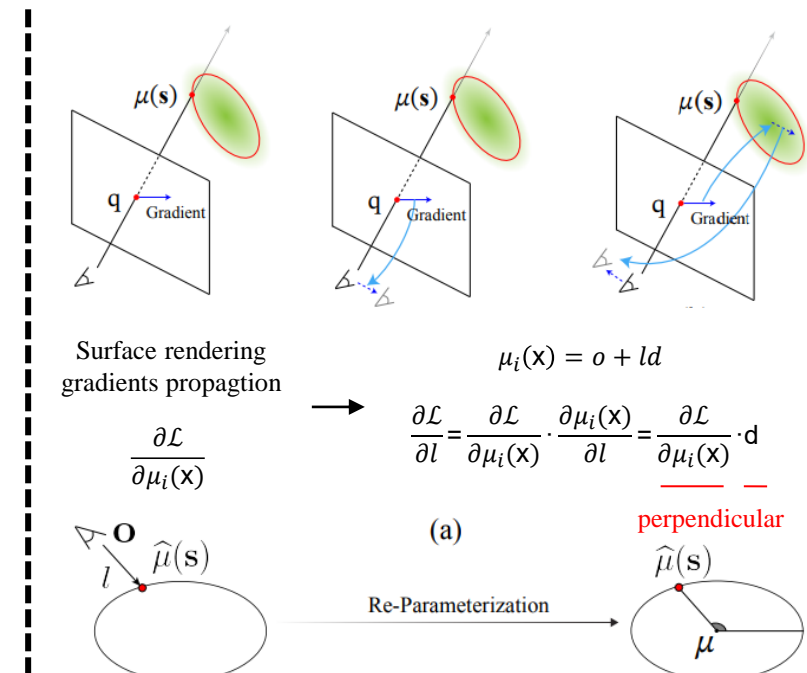
- Main Method
 - Optimization Framework
 - Differentiable Surface Rendering

Surface Rendering



$$\Psi(s) = \sum_i \mu_i \alpha_i(s) \prod_{j=1}^{i-1} (1 - \alpha_j(s))$$

$$\Psi(s) = \sum_{i, \hat{\mu}_i(s) \neq \emptyset} \hat{\mu}_i(s) \alpha_i(s) \prod_{j=1, \hat{\mu}_j(s) \neq \emptyset}^{i-1} (1 - \alpha_j(s))$$



Algorithm 2 Numerically Stable Ray-ellipsoid Intersection Test

Input: Ray origin $\mathbf{o} \in \mathbb{R}^3$ and ray direction $\mathbf{d} \in \mathbb{R}^3$. The properties of an ellipsoid: center $\mathbf{e}_c \in \mathbb{R}^3$, scaling $\mathbf{e}_s = (\mathbf{e}_{s_x}, \mathbf{e}_{s_y}, \mathbf{e}_{s_z})^T \in \mathbb{R}_+^3$ and rotation $\mathbf{e}_r \in \mathfrak{so}(3)$.

Output: Whether the ray intersect the ellipsoid. If yes, return the world space coordinates of the intersection point.

```

1:  $\mathbf{o}' \leftarrow \mathbf{e}_c^T(\mathbf{o} - \mathbf{e}_c)$  → Ray의 coordinate 를 타원체의 local coordinate 로 변환
2:  $\mathbf{d}' \leftarrow \frac{\mathbf{e}_r^T \mathbf{d}}{\|\mathbf{e}_r^T \mathbf{d}\|_2}$ 
3:  $\mathbf{t}_0 \leftarrow \mathbf{d}' \odot \mathbf{e}_s$  → Normalize 된 ray 를 타원체의 scale 에 맞게 조정
4:  $\mathbf{t}_1 \leftarrow \mathbf{o}' \odot \mathbf{e}_s$ 
5:  $\mathbf{t}_2 \leftarrow \frac{1}{\mathbf{e}_{s_x} \mathbf{e}_{s_y} \mathbf{e}_{s_z}} (\mathbf{d}' \times \mathbf{o}') \odot \mathbf{e}_s$  외적을 통해 ray 와 타원체 사이의 각을
6: if  $\|\mathbf{t}_0\|_2 < \|\mathbf{t}_2\|_2$  then 계산하고, 이를 기반으로 intersection 여부 결정
7:   return No intersection,  $\emptyset$ .
8: else
9:    $t \leftarrow -(\frac{\mathbf{t}_0}{\|\mathbf{t}_0\|_2} \cdot \frac{\mathbf{t}_1}{\|\mathbf{t}_1\|_2}) - \frac{1}{\|\mathbf{t}_0\|_2} \sqrt{1 - \frac{\|\mathbf{t}_2\|_2}{\|\mathbf{t}_0\|_2}} \sqrt{1 + \frac{\|\mathbf{t}_2\|_2}{\|\mathbf{t}_0\|_2}}$ .
10:  return Intersected,  $\mathbf{o} + t\mathbf{d}$ .
  
```

Paper2- A Construct-Optimize Approach to Sparse View Synthesis without Camera Pose

- Main Method

- Optimization Framework

- Adjustment stage

✓ 렌더링된 depth 를 사전 학습된 monocular depth 모델로 supervision 수행

✓ 카메라 포즈를 정확하게 추정하기 위해서는 depth 또한 정렬되어야 함

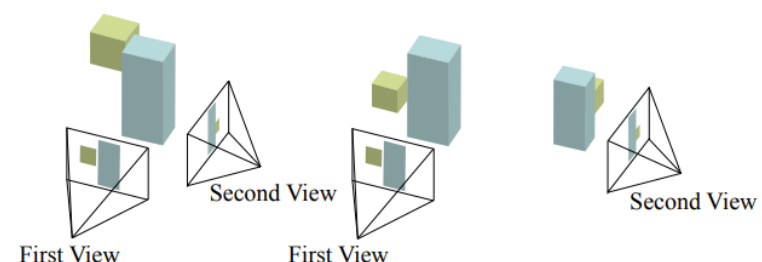
- Depth 와 같은 기하학 정보없이 카메라 포즈를 추정할 경우 물체의 위치가 맞지 않음에 따라 렌더링 성능이 크게 저할될 수 있음

✓ Adjustment 단계에서는 $k + 1$ 번째 까지 수행된 모든 카메라와 depth 가 함께 학습되어짐

$$\checkmark D_{rendered}(s) = \sum_{i, \hat{\mu}_i(s) \neq \emptyset} z_i(s) \alpha_i(s) \prod_{j=1, \hat{\mu}_j(s)}^{i-1} (1 - \alpha_j(s))$$

$$\checkmark \mathcal{L}_{depth} = \sum_{i=1}^M \| sg[b(\kappa'^{(i)})] - d(\kappa^{(i)}) \|_1$$

- Depth 와 관련된 매개변수만을 학습



Paper2- A Construct-Optimize Approach to Sparse View Synthesis without Camera Pose

- Main Method

- Optimization Framework

- Refinement

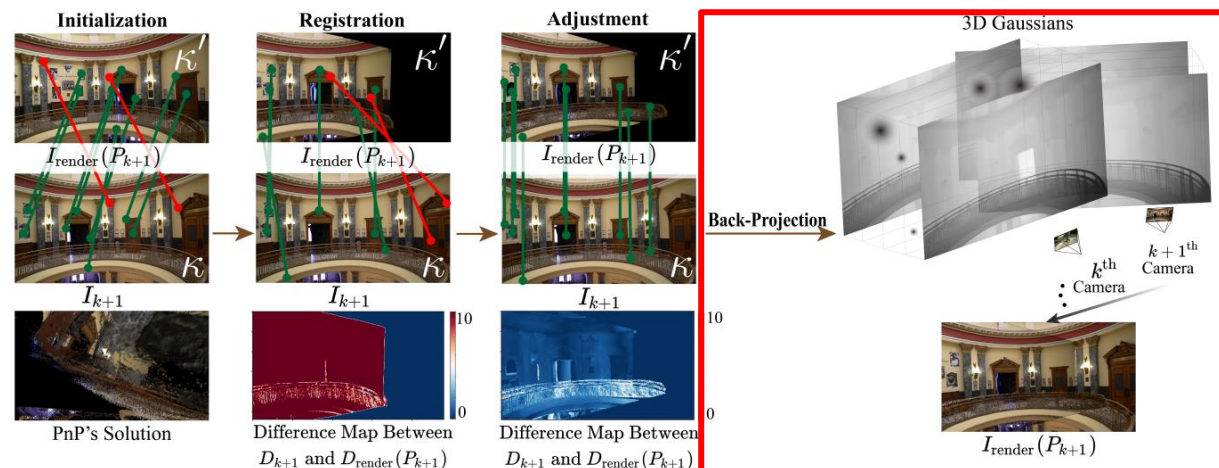
Registration 과 Adjustment 단계 이후 depth 기반 point cloud reconstruction 수행

✓ $k + 1$ 번째 카메라로 렌더링된 영역 중 빈 영역에 해당하는 3차원 정보 보완

✓ k 까지 학습된 3D point 와 $k + 1$ 에서 보완되는 3D point 중 겹치는 구간은 정보가 너무 과다해짐에 따라 noise 로 작용되어짐

- 겹치는 구간에 한해 보완되는 3D point 개수를 10%로 제한

업데이트된 3D 정보와 카메라 포즈를 기반으로 original 3D GS 모델 학습



Paper2- A Construct-Optimize Approach to Sparse View Synthesis without Camera Pose

- Result

 - 정성 결과

 - 포즈 추정 모델

NoPe-NeRF

CF 3DGS

 - Only rendering 모델

Instant-NGP

3DGS

FSGS

GNT

 - Sparse view 도 잘 수행 되어짐

포즈 추정 및 렌더링 성능



Paper2- A Construct-Optimize Approach to Sparse View Synthesis without Camera Pose

- Result

- 정량 결과

Methods	3 Views			6 Views			12 Views		
	PSNR ↑	SSIM ↑	LPIPS ↓	PSNR ↑	SSIM ↑	LPIPS ↓	PSNR ↑	SSIM ↑	LPIPS ↓
Instant-NGP 	15.31	0.42	0.56	17.52	0.56	0.47	20.21	0.69	0.35
3DGS 	15.21	0.46	0.43	20.17	0.71	0.24	23.60	0.81	0.17
FSGS† 	19.23	0.58	0.37	23.55	0.74	0.28	26.81	0.83	0.22
GNT 	17.80	0.57	0.29	22.52	0.77	0.18	24.56	0.82	0.14
LocalRF	16.06	0.49	0.70	16.31	0.50	0.67	18.68	0.54	0.61
NoPe-NeRF	12.05	0.35	0.76	15.64	0.45	0.65	18.12	0.49	0.60
CF 3DGS	14.91	0.43	0.43	16.71	0.50	0.41	18.62	0.59	0.36
Ours	20.37	0.66	0.26	25.18	0.81	0.16	28.65	0.88	0.10

- 촬영 영역이 비교적 좁고 수렴형태로 촬영한 데이터셋에 대해 SOTA 성능 달성

Methods	3 Views			6 Views			12 Views		
	PSNR ↑	SSIM ↑	LPIPS ↓	PSNR ↑	SSIM ↑	LPIPS ↓	PSNR ↑	SSIM ↑	LPIPS ↓
LocalRF	15.97	0.33	0.47	18.32	0.47	0.43	20.13	0.54	0.41
NoPe-NeRF	14.85	0.25	0.67	18.59	0.34	0.57	18.19	0.34	0.59
CF 3DGS	15.45	0.28	0.60	17.02	0.35	0.52	17.65	0.39	0.46
Ours	16.35	0.38	0.37	18.96	0.50	0.31	19.70	0.53	0.29

- 촬영 영역이 넓고(camera trajectory 가 매우 큼) 긴 장면의 경우, view 가 많을 때를 제외하고는 SOTA 성능 달성

감사합니다